

پیش‌بینی میزان رشد ابعاد مختلف زیتون تلخ (*Melia azedarach*) و توت زیستی (*Morus alba*) در فضای سبز شهری

زهرا کریمیان^{۱*}، علی تهرانی فر^۲، محمد بنایان^۳، مجید عزیزی^۲ و فاطمه کاظمی^۴

(تاریخ دریافت: ۱۳۹۱/۶/۲۵؛ تاریخ پذیرش: ۱۳۹۲/۲/۱۴)

چکیده

تعیین میزان رشد و فاصله کشت درختان در فضاهای سبز شهری امروزه به صورت یکی از ضرورت‌های برنامه‌های طراحی کاشت و مدیریت فضای سبز در آمده است. به منظور تعیین میزان و سرعت رشد دو گونه درختی زیتون تلخ و توت زیستی داده‌برداری از ابعاد مختلف درخت شامل ارتفاع کل، ارتفاع تنها و قطر تاج درختان در سنین مختلف، در محوطه پرده‌سی دانشگاه فردوسی مشهد و در طی فصل رشد سبز آن‌ها انجام شد. تجزیه رگرسیون این ابعاد به عنوان متغیر وابسته با سن به عنوان متغیر مستقل مدل‌های مختلفی را ایجاد کردند که می‌توانند برای تخمین میزان رشد ابعاد اندازه‌گیری شده این دو گونه طی زمان مورد استفاده قرار گیرند. نتایج تجزیه‌ها نشان داد که در بین مدل‌های برآش شده، بالاترین ضرایب رگرسیون مربوط به توابع خطی، چند جمله‌ای و نمایی است، اما تابع لگاریتمی به عنوان قابل قبول‌ترین مدل برای تخمین ابعاد اندازه‌گیری شده در طی زمان در دو گونه زیتون تلخ (ارتفاع کل $R^2 = 0.87$ ، ارتفاع تنها $R^2 = 0.67$ ، قطر تاج $R^2 = 0.60$) و توت زیستی (ارتفاع کل $R^2 = 0.40$ ، ارتفاع تنها $R^2 = 0.65$ ، قطر تاج $R^2 = 0.60$) معرفی شدند. همچنین در هر دو گونه بیشترین سرعت رشد ابعاد اندازه‌گیری شده همزمان با افزایش سن تا ۱۵ سالگی در قطر تاج یا رشد عرضی شاخص‌ره درختان دیده شد.

واژه‌های کلیدی: ابعاد رشد، توت زیستی، زیتون تلخ، سن، رگرسیون

۱. دانشجوی دکتری، دانشگاه فردوسی مشهد، دانشکده کشاورزی، گروه علوم باگبانی
۲. دانشیار گروه علوم باگبانی، دانشگاه فردوسی مشهد، دانشکده کشاورزی، گروه علوم باگبانی
۳. دانشیار گروه زراعت، دانشگاه فردوسی مشهد، دانشکده کشاورزی، گروه زراعت
۴. استادیار گروه علوم باگبانی، دانشگاه فردوسی مشهد، دانشکده کشاورزی، گروه علوم باگبانی

*: مسئول مکاتبات، پست الکترونیکی: zkarmianf@gmail.com

مقدمه

برخی از گونه‌های درختی فضای سبز پیشنهاد شده است (۱۲) ۱۳ و (۱۵) اما تا کنون مطالعات و تحقیقات محدودی روی تعیین مدل‌ها و روابط ریاضی بین ابعاد درخت و سن آن‌ها وجود دارد که در همین موارد اندک نیز به دلیل تفاوت‌های بین گونه‌ای و اقلیمی مدل‌ها تقریباً در همان‌گونه مورد نظر کاربردی و قابل استفاده هستند و برای هر گونه داده‌برداری و تجزیه و تحلیل جدید مورد نیاز است (۱۶).

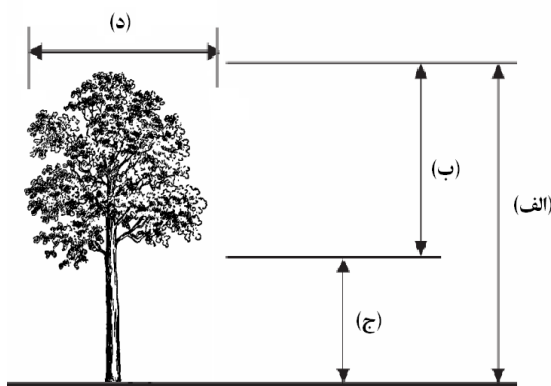
گونه زیتون تلخ (*Meliaceae* از تیره *Melia azedarach* L.) درختی بومی استرالیا و آسیای جنوب شرقی است که به خاطر مقاومت محیطی نسبتاً بالا (۵) و زیبایی چتر آن در فصول مختلف در فضای سبز اکثر شهرهای ایران به ویژه در سال‌های اخیر مورد استفاده گسترده قرار گرفته است. گونه توت زیستی (*Moraceae* از تیره *Morus alba* L.) نیز درختی مقاوم است که به ویژه جنس نر آن به دلیل گستره مناسب تاج و عدم وجود میوه مورد اقبال فراوان در فضاهای سبز شهری است (۶). در دو گونه زیتون تلخ و توت زیستی تاکنون پژوهش‌ها و مطالعه کمی و ریاضی بین سن درخت و رشد ابعاد مختلف آن صورت نگرفته است و مدیریت کشت آن‌ها از نظر رعایت فاصله کاشت بین آن‌ها با دیگر درختان هم نوع و یا غیر هم نوع و هم‌چنین رعایت فاصله کاشت آنها با تجهیزات و سازه‌های شهری و پیش‌بینی رشد آن‌ها غالباً بر اساس مشاهدات تجربی و فردی صورت می‌گیرد. هدف از این پژوهش، تعیین مدل یا مدل‌هایی جهت تخمین سرعت یا میزان رشد دو گونه مذکور با استفاده از روابط ریاضی بین شاخص‌های مربوط به ابعاد درخت (ارتفاع، کل، ارتفاع تن، قطر تاج) و سن درخت می‌باشد، به گونه‌ای که بتوان به کمک این مدل‌ها ابعاد درخت و رشد آنها را در سنین مختلف پیش‌بینی و مدیریت مناسب فضای سبز را اعمال کرد.

مواد و روش‌ها

اندازه‌گیری‌ها روی ۲ گونه درخت فضای سبز شهری، زیتون تلخ و توت زیستی در تابستان و پاییز سال ۱۳۹۰ در فضای

رعایت اصول کشت درختان زیستی یکی از مهم‌ترین مسائل در طراحی فضای سبز شهری می‌باشد. در شهرسازی نوین برنامه‌ریزی فضاهای سبز شهری به صورت فعالیتی تخصصی در آمده که کم توجهی به آن می‌تواند به کاهش کارایی فضاهای مذکور و افت کیفیت محیط شهری منجر شود (۱۷). غالباً فضای کشت درختان در محیط‌های شهری با محدودیت مواجه است و درختان باید برای رسیدن به وضعیت مطلوب از نظر ارتفاع در هنگام بلوغ، گسترش شاخه‌ها، قطر تن و توسعه ریشه‌ها بدون ایجاد اختلال در فعالیت‌های انسانی و اجسام پیرامونی دارای فضا و فاصله کاشت کافی باشند. اگر شرایط درختان از این نظر برای رشد مناسب باشد مشکلات آتی ایجاد شده برای پیاده‌روها، جاده‌ها، ساختمان‌ها، تابلوهای شهری (خصوصاً عالیم راهنمایی و رانندگی) و کلیه وسائل و تجهیزات داخل و بیرون از زمین کاهش یافته و یا حذف می‌شوند و نیاز به هرس در مراحل بعدی نخواهد بود (۴). از طرفی عدم رعایت فاصله کشت مناسب بین درختان از طریق ایجاد سایه‌دهی و رقابت بر سر منابع مختلف باعث ایجاد اختلال در رشد آن‌ها می‌شود (۱۸). در معماری منظر، کشت درختان چه از نقطه نظر اکولوژیکی و چه از جنبه زیباشناختی به آگاهی در مورد میزان ارتفاع و قطر تاج درخت وابسته است. فضایابی و موقعیت‌یابی درختان کشت شده در ارتباط با ساختارهای شهری با داشتن اطلاعات کافی از رشد درخت میسر است و می‌تواند درختان کاشت معماری منظر بهتر و واقعی‌تری فراهم کند (۱۱). اطلاعات موجود بر روابط بین ابعاد مختلف درختان در فضای سبز معمولاً بر اساس مشاهدات فردی است و غالباً بر اساس پیش‌بینی سرعت رشد درختان به صورت کیفی (رشد آهسته، متوسط، سریع و خیلی سریع) و بدون استفاده از مقادیر کمی و ریاضی توضیح داده می‌شود (۹ و ۱۰).

مدل‌ها و روابط ریاضی رشد متعددی مبتنی بر ابعاد درخت در بسیاری از گونه‌های جنگلی درختی (۳، ۷ و ۱۴) و نیز



شکل ۱. ابعاد اندازه‌گیری شده برای هر درخت: ارتفاع کل (الف)، ارتفاع تاج (ب)، ارتفاع تنہ (ج) و قطر تاج (د).

پرامون تنہ درخت اندازه‌گیری شد و سپس با کمک فرمول زیر سن تقریبی آن محاسبه شد (۲۰).

$$\text{قطر درخت} = \text{محیط درخت} / \text{عدد پی}$$

سن درخت = قطر درخت × فاکتور رشد درخت
فاکتور رشد در درختان مختلف مقدار متفاوتی است و این مقدار برای درختان زیتون تلخ و توت زیستی تقریباً ۳ در نظر گرفته شد (۲۰). در کل حدود ۲۵۰ درخت اندازه‌گیری شدند که ۱۴۰ درخت مربوط به گونه توت زیستی و ۱۱۰ درخت متعلق به گونه زیتون تلخ با دامنه سنی بین ۱ تا ۱۵ سال بودند. درختان کشت شده در مکان‌های مختلف محوطه پر迪س توزیع سنی نسبتاً یکسانی داشت و اندازه‌گیری درختان در هر مکان به صورت کاملاً تصادفی انجام شد. فاصله کشت درختان از یکدیگر، جدول‌ها و مسیرهای مашین رو با توجه به مکان اندازه‌گیری (بولوار، حاشیه خیابان کشی و یا فضای سبز مرکز) متفاوت بود اما به طور متوسط فاصله بین درختان توت زیستی حدود ۲/۵ و زیتون تلخ ۳ متر بود. اکثریت درختان کشت شده در فضای سبز محوطه پر迪س دانشگاه فردوسی به دلیل مدیریت یکسان در محیط‌های تقریباً مشابه از نظر آبیاری، کوددهی، کنترل علف‌های هرز و ... پرورش یافته بودند. بین ابعاد اندازه‌گیری شده هر درخت (ارتفاع کل، ارتفاع تنہ و قطر تاج) و سن آن با استفاده از نرم افزار Excel انواع رگرسیون‌های ساده خطی (Linear)، چند جمله‌ای (Polynomial)، نمایی (Power)، لگاریتمی (Logarithmic) و توانی (Exponential)

سبز پر迪س دانشگاه فردوسی مشهد انجام شد. ابعاد اندازه‌گیری شده در این دو گونه شامل ارتفاع کل درخت (از سطح زمین تا نوک بلندترین شاخه‌های عمودی)، ارتفاع تنہ درخت (از سطح زمین تا پایین‌ترین برگ‌های تاج) و ارتفاع تاج و قطر تاج درخت بودند. اندازه‌گیری قطر تاج در دو جهت موازی و عمود بر تنہ درخت انجام شد و نهایتاً میانگین این دو مقدار برای محاسبه قطر استفاده شدند (شکل ۱).

اندازه‌گیری‌ها با استفاده از میله‌های مدرج بلند و متر ساختمانی (با دقیق ۱ میلی‌متر) انجام شد. در درختان بلندتر ارتفاع با کمک شب سنج سنتو و با استفاده از روابط هندسی (رابطه فیثاغورث) محاسبه شدند. بهاین ترتیب که با استفاده از شب سنج سنتو مقدار شب از نوک درخت تا سطح افق و هم‌چنین از بن درخت تا سطح افق اندازه‌گیری و ارتفاع درخت با استفاده از فرمول زیر محاسبه شد.

$$H = B (\operatorname{Tg} \alpha - \operatorname{Tg} \beta)$$

h: ارتفاع درخت، B: فاصله افقی تا درخت بر حسب متر، $\operatorname{Tg} \beta$: درصد شب بن درخت و $\operatorname{Tg} \alpha$: درصد شب نوک درخت.
سن درختان با استفاده از داده‌های مورد تأیید مسئولان، ناظران و کارگران فضای سبز محوطه پر迪س در طی ۲۰ سال گذشته به دست آمد. معیار سن درختان از زمان کشت آنها در محوطه پر迪س در نظر گرفته شدند. در مواردی که سن درختان به دلایل مختلف در دست نبود از روش اندازه‌گیری محیط درخت برای تخمین سن آن استفاده شد. در این روش محیط

رابطه توانی ($R^2 = 0.83$) برآورد گردید.

همان طورکه از جدول (۱) مشخص می‌باشد بین ابعاد اندازه‌گیری شده در درخت زیتون تلخ به عنوان متغیر وابسته و سن آنها به عنوان متغیر مستقل ضریب تبیین نسبتاً بالا و معنی‌داری وجود دارد که بیشترین مقدار آن در توابع رگرسیونی برآورده شده بین ارتفاع کل و سن درخت دیده می‌شود (جدول ۱).

در گونه توت زیستی بالاترین ضرایب رگرسیون بین ارتفاع کل و سن درخت در روابط چندجمله‌ای ($R^2 = 0.83$), خطی ($R^2 = 0.78$) و نمایی ($R^2 = 0.72$) و بین قطر تاج و سن در روابط توانی ($R^2 = 0.78$), نمایی ($R^2 = 0.77$), چند جمله‌ای ($R^2 = 0.76$) و خطی ($R^2 = 0.75$) برآورده شد. ضریب رگرسیون بین ارتفاع تنه و سن درخت در کلیه روابط حاصل رگرسیون به دست آمد.

در توت زیستی بین ابعاد اندازه‌گیری شده ارتفاع کل درخت و قطر تاج به عنوان متغیرهای وابسته و سن آنها به عنوان متغیر مستقل، ضریب تبیین بالا و معنی‌داری وجود دارد در حالی که مقدار ضریب تبیین در ارتفاع تنه به عنوان متغیر وابسته و سن به عنوان متغیر مستقل پایین است (جدول ۲).

در هر دو گونه بهویژه توت زیستی کمترین میزان ضریب رگرسیون بین ابعاد درخت و سن مربوط به ارتفاع تنه درختان است. هرس کردن بهویژه قطع شاخه‌های پایینی تاج درخت یکی از عملیات نگهداری درختان فضای سبز به منظور زیبای سازی آنها و یا کنترل رشد شاخه‌ها جهت جلوگیری از مزاحمت احتمالی برای رفت و آمد و یا تجهیزات شهری است از این رو ارتفاع تنه درخت علاوه بر رشد طبیعی آنها، تابعی از عملیات داشت و نگهداری درختان نیز می‌باشد (۱۱ و ۱۶).

علی‌رغم این که در هر دو گونه زیتون تلخ و توت زیستی، بالاترین ضرایب وابستگی در مدل‌ها و توابع حاصل، غالباً مربوط به توابع نوع چند جمله‌ای، خطی و نمایی (توابعی غیر از توابع لگاریتمی) بود با این وجود برای پیش‌بینی میزان رشد

گرفته شد تا سرعت رشد درخت در ابعاد و سنین مختلف محاسبه شود.

در مطالعات مختلف برای آنالیز رشد محیطی ساقه مدل‌های منحنی رشد متعددی مثل نمایی، لگاریتمی (Lundqvist family ۱۹۷۴)، آزمایش شدند. در نهایت معادله لگاریتمی به عنوان بهترین معادله برای محاسبه رشد محیط ساقه در برابر داده‌های مربوط به سن درخت در نظر گرفته شد و بنابراین در پژوهش حاضر نیز برای تعیین سرعت رشد ابعاد مختلف اندازه‌گیری شده در دو گونه زیتون تلخ و توت زیستی از معادله لگاریتمی استفاده شد.

واکنش رشدی گونه‌ها بر اساس پارامترهای ابعاد درخت به وسیله میانگین سرعت رشد سالانه آنالیز شدند (۸) در این رابطه:

$$\text{AGR}_2 = \frac{a-b}{t} \quad (1)$$

AGR_2 میانگین سرعت رشد سالانه (Annual Growth Rate) بر حسب میلی‌متر در سال

a : بزرگ‌ترین بعد درخت (mm), b : کوچک‌ترین بعد درخت (mm)، از بین ابعاد ارتفاع و قطر درخت، عدد بزرگ‌تر به عنوان a و عدد کوچک‌تر به عنوان b در نظر گرفته می‌شود.

t : دوره زمانی بین اندازه‌گیری‌ها (در این تحقیق دوره زمانی ۲ سال در نظر گرفته شده است). با استفاده از رابطه فوق میانگین رشد سالانه در بازه زمانی ۲ سال یک بار برای هر گونه محاسبه می‌شود.

نتایج و بحث

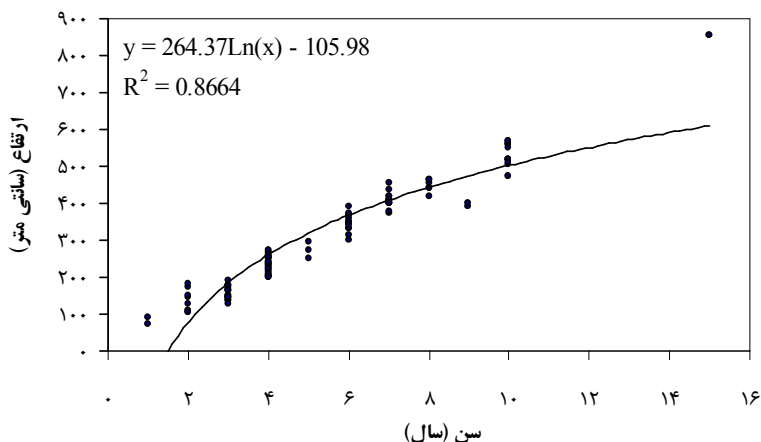
معادلات رگرسیونی، ضرایب تبیین (R^2) و میانگین خطای استاندارد (MSE) برای دو گونه زیتون تلخ و توت زیستی به ترتیب در جداول ۱ و ۲ ارائه شده‌اند. در گونه زیتون تلخ بالاترین ضرایب رگرسیون بین ارتفاع کل و سن درخت در روابط چند جمله‌ای ($R^2 = 0.96$), خطی ($R^2 = 0.96$) و توانی ($R^2 = 0.94$) و بین ارتفاع تنه و سن درخت در روابط چند جمله‌ای ($R^2 = 0.69$), توانی ($R^2 = 0.69$), لگاریتمی

جدول ۱. مدل، MSE و R^2 حاصل از توابع رگرسیونی بین سن (متغیر مستقل؛ x) و پارامترهای؛ ارتفاع کل، ارتفاع تنہ و قطر تاج (متغیر وابسته؛ y) در زیتون تلخ

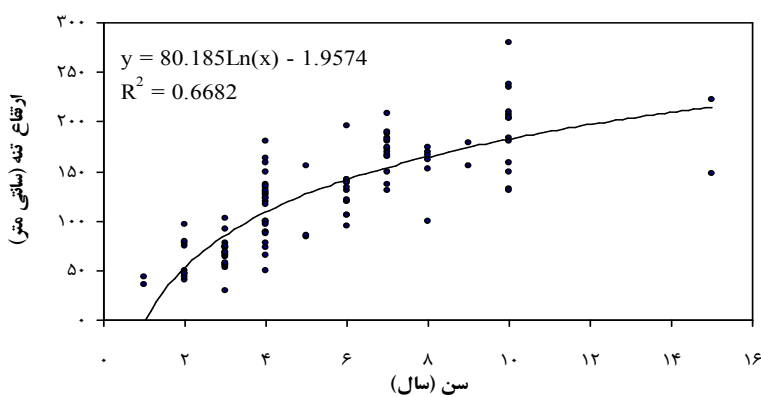
| R^2 | MSE | b | a | مدل (معادله) | نوع معادله | |
|-------|-------|---------|--------|-------------------------------------|-------------|----------------|
| ۰/۹۶ | ۱۴/۷۶ | ۱۷/۸۲ | ۵۲/۸۲ | $y = ۵۲/۸۲۹x + ۱۷/۸۲۹$ | خطی | ارتفاع کل و سن |
| ۰/۸۷ | " | -۱۰۵/۹۸ | ۲۶۴/۳۷ | $y = ۲۶۴/۳۷ \ln(x) - ۱۰۵/۹۸$ | لگاریتمی | |
| ۰/۹۶ | " | ۵۱/۲۶ | ۰/۱۱ | $y = ۰/۱۱۵۵x^۲ + ۵۱/۲۶۶x + ۲۲/۰۱$ | چند جمله‌ای | |
| ۰/۹۴ | " | ۰/۹۲ | ۶۴/۳۲۹ | $y = ۶۴/۳۲۹x^{۰/۹۲}$ | توانی | |
| ۰/۸۸ | " | ۰/۱۶۸۴ | ۱۰۷/۸۳ | $y = ۱۰۷/۸۳e^{۰/۱۶۸۴x}$ | نمایی | |
| ۰/۶۳ | ۵/۱ | ۴۲/۶۶ | ۱۴/۷۴ | $y = ۱۴/۷۴۹x + ۴۲/۶۶۸$ | خطی | |
| ۰/۹۷ | " | -۱/۹۵۷۴ | ۸۰/۱۸۵ | $y = ۸۰/۱۸۵ \ln(x) - ۱/۹۵۷۴$ | لگاریتمی | |
| ۰/۹۹ | " | ۳۱/۷۴ | -۱/۲۵ | $y = -۱/۲۵۵۸x^۲ + ۳۱/۷۴۴x - ۲/۸۰۲$ | چند جمله‌ای | |
| ۰/۹۹ | " | ۰/۷۳۹۱ | ۳۴/۹۶۱ | $y = ۳۴/۹۶۱x^{۰/۷۳۹۱}$ | توانی | |
| ۰/۵۹ | " | ۰/۱۲۹۲ | ۵۴/۷۷ | $y = ۵۴/۷۷۲e^{۰/۱۲۹۲x}$ | نمایی | |
| ۰/۷۱ | ۲۰/۵ | -۱۴/۶۸۹ | ۶۷/۷۷ | $y = ۶۷/۷۷۷x - ۱۴/۶۸۹$ | خطی | قطر تاج و سن |
| ۰/۶۷ | " | -۱۸۵/۷۹ | ۳۶۴/۹۴ | $y = ۳۶۴/۹۴ \ln(x) - ۱۸۵/۷۹$ | لگاریتمی | |
| ۰/۷۲ | " | ۹۳ | -۱/۸۶ | $y = -۱/۸۶۳۸x^۲ + ۹۳/۰۰۱x - ۸۲/۱۷۴$ | چند جمله‌ای | |
| ۰/۸۳ | " | ۱/۱۱۶ | ۵۰/۵۰۶ | $y = ۵۰/۵۰۶x^{۱/۱۱۶}$ | توانی | |
| ۰/۷۶ | " | /۲۰۲۸ | ۹۵/۲۷۹ | $y = ۹۵/۲۷۹e^{۰/۲۰۲۸x}$ | نمایی | |

جدول ۲. مدل، MSE و R^2 حاصل از توابع رگرسیونی بین سن (متغیر مستقل؛ x) و پارامترهای؛ ارتفاع کل، ارتفاع تنہ و قطر تاج (متغیر وابسته؛ y) در توت زیستی

| R^2 | MSE | b | a | مدل (معادله) | نوع معادله | |
|-------|-------|---------|--------|------------------------------------|-------------|----------------|
| ۰/۷۸ | ۱۵/۴۵ | ۴۸/۶۲۵ | ۲۹/۵۸ | $y = ۲۹/۵۸۵x + ۴۸/۶۲۵$ | خطی | ارتفاع کل و سن |
| ۰/۶۰ | " | ۱۴/۳۲۶ | ۱۵۷/۶۱ | $y = ۱۵۷/۶۱ \ln(x) + ۱۴/۳۲۶$ | لگاریتمی | |
| ۰/۸۳ | " | ۰/۲۳۵۲ | ۲/۰۲۵۹ | $y = ۲/۰۲۵۹x^۲ - ۰/۲۳۵۲x + ۱۴۸/۴۵$ | چند جمله‌ای | |
| ۰/۵۹ | " | ۰۶۷۸ | ۹۰/۷۶۲ | $y = ۹۰/۷۶۲x^{۰/۰۶۷۸}$ | توانی | |
| ۰/۷۲ | " | ۱۰۳۳ | ۱۰۶/۰۵ | $y = ۱۰۶/۰۵e^{۱۰۳۳x}$ | نمایی | |
| ۰/۴۴ | ۳/۸ | ۰۶/۸۹۳ | ۰/۴۵۴ | $y = ۰/۴۵۴x + ۰۶/۸۹۳$ | خطی | |
| ۰/۴۰ | " | ۴۵/۰۸۲ | ۳۱/۷۰۳ | $y = ۳۱/۷۰۳ \ln(x) + ۴۵/۰۸۲$ | لگاریتمی | |
| ۰/۴۴ | " | ۷/۷۶۶۶ | -۰/۱۳۴ | $y = -۰/۱۳۴x^۲ + ۷/۷۶۶۶x + ۵۰/۲۷۷$ | چند جمله‌ای | |
| ۰/۴۳ | " | ۰/۳۲۸۳ | ۰۲/۱۸۱ | $y = ۰۲/۱۸۱x^{۰/۳۲۸۳}$ | توانی | |
| ۰/۴۶ | " | ۰/۰۵۶۳ | ۰۹/۲۵ | $y = ۰۹/۲۵e^{۰/۰۵۶۳x}$ | نمایی | |
| ۰/۷۵ | ۱۷/۶۸ | ۱۸/۲۰۶ | ۳۳/۲۸۲ | $y = ۳۳/۲۸۲x + ۱۸/۲۰۶$ | خطی | قطر تاج و سن |
| ۰/۶۵ | " | -۴۰/۲۸۴ | ۱۸۶/۹۱ | $y = ۱۸۶/۹۱ \ln(x) - ۴۰/۲۸۴$ | لگاریتمی | |
| ۰/۷۶ | " | ۱۸/۲۰۸ | ۰/۸۷۷ | $y = ۰/۸۷۷x^۲ + ۱۸/۲۰۸x + ۶۱/۳۳۴$ | چند جمله‌ای | |
| ۰/۷۸ | " | ۰/۷۹۸۱ | ۰۳/۹۹۵ | $y = ۰۳/۹۹۵x^{۰/۷۹۸۱}$ | توانی | |
| ۰/۷۷ | " | ۰/۱۳۱ | ۷۷/۳۵۲ | $y = ۷۷/۳۵۲e^{۰/۱۳۱x}$ | نمایی | |



شکل ۱. نمودار تابع رگرسیونی لگاریتمی بین ارتفاع و سن درخت در زیتون تلخ

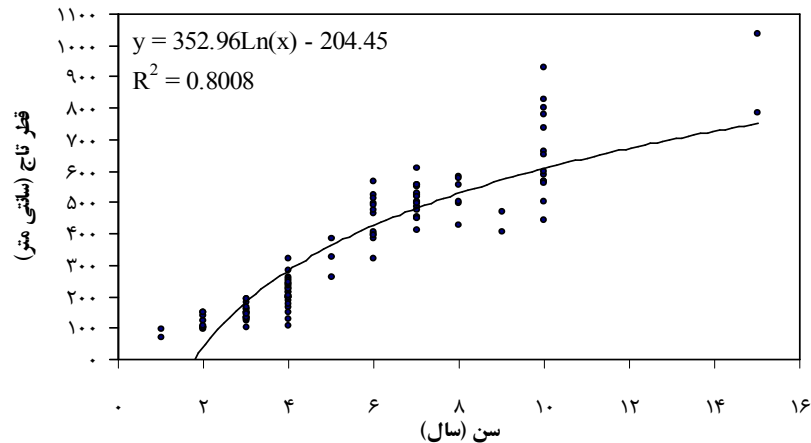


شکل ۲. نمودار تابع رگرسیونی لگاریتمی بین ارتفاع تنہ و سن درخت در زیتون تلخ

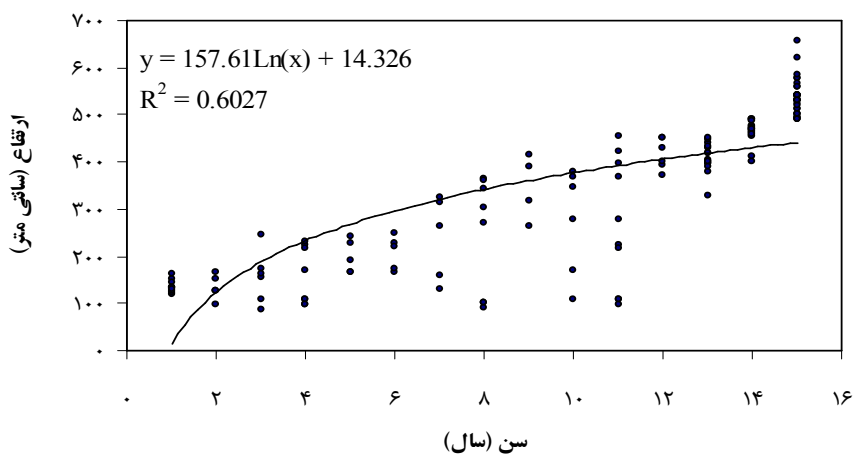
تحقیقات و مقالات مشابه، مدل لگاریتمی با توجه به وضعیت و الگوی رشدی ارتفاع کل، ارتفاع تنہ و قطر تاج به عنوان مدل قابل قبول جهت پیش‌بینی رشد این ابعاد در سینین مختلف در نظر گرفته می‌شود (۱۲، ۱۳ و ۱۶). شکل‌های (۱-۳) و (۴-۵) به ترتیب نشان دهنده منحنی توابه رگرسیون لگاریتمی بین ابعاد مختلف رشد و سن در دو گونه زیتون تلخ و توت زیستی می‌باشد.

با استفاده از معادلات لگاریتمی به دست آمده برای هر گونه میزان رشد ابعاد اندازه‌گیری شده (ارتفاع کل، ارتفاع تنہ و قطر تاج) در سینین ۱۰، ۱۵ و ۳۰ سال پیش‌بینی شدند (جدول ۳). پیش‌بینی ابعاد حداقل در سینین ۱۰ و ۱۵ سال به ابعاد واقعی درختان در این سینین بسیار نزدیک هستند. سرعت رشد سالانه

ابعاد اندازه‌گیری شده در سینین مختلف، مدل‌ها و توابع لگاریتمی به عنوان مدل‌های برگزیده و مناسب پیش‌بینی در هر دو گونه انتخاب شدند. الگو و مدل رشد ارتفاع کل، ارتفاع تنہ و هم‌چنین قطر تاج درختان زیتون تلخ و توت زیستی به شکلی است که با استفاده از توابع خطی و چند جمله‌ای و تا حدودی توانی پیش‌بینی صحیح و قابل قبولی به دست نخواهد آمد به طوری که این مدل‌ها با افزایش سن درختان به ویژه در سینین بالا (حدود ۲۵ سال و بالاتر) پیش‌بینی بسیار بالایی (Overestimate) از ابعاد درخت دارند که عملاً در شرایط طبیعی درختانی با چنین ابعاد در آن سن وجود ندارد و این مدل‌ها و توابع جهت پیش‌بینی الگوی رشدی این درختان به لحاظ علمی قابل قبول نیستند (۱۶). از طرفی با رجوع به برخی



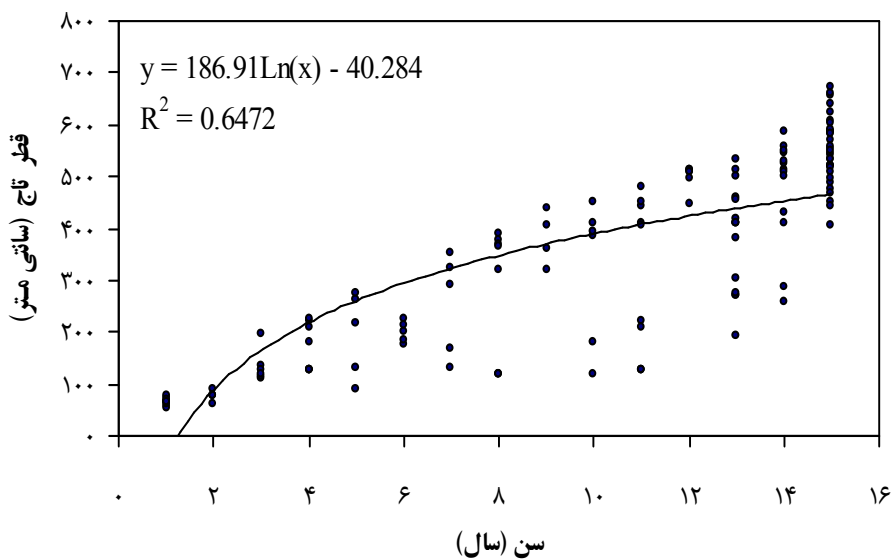
شکل ۳. نمودار تابع رگرسیونی لگاریتمی بین قطر تاج و سن درخت در زیتون تلخ



شکل ۴. نمودار تابع رگرسیونی لگاریتمی بین ارتفاع و سن درخت در توت زیستی

می خورد که می تواند مربوط به سوء مدیریت هایی باشد که رشد طولی تنها را تحت تأثیر قرار می دهند چرا که سرعت رشد قطر تاج در این سن هم چنان روند افزایشی سریعی را نشان می دهد اما سرعت رشد در ارتفاع کل درخت روند منظمی ندارد و کاهش و افزایش آن در سینه مختلف مشاهده می شود (جدول ۵). همان طور که جداول ۴ و ۵ نشان می دهد در هر دو گونه سرعت رشد قطر تاج با افزایش سن در مقایسه با سرعت رشد ارتفاع کل و ارتفاع تنها بیشتر است که شاید علت آن به این دلیل باشد که با افزایش سن تا حدود ۱۵ سالگی درختان مسن تر به حداقل رشد طولی و ارتفاعی خود نزدیک شده اند در حالی که رشد جانبی و گسترش تاج درخت همچنان ادامه دارد (۱۶).

ارتفاع کل در درخت زیتون تلخ تا سن ۴ سالگی روند افزایشی داشته اما در سینه ۴-۸ سالگی کاهش یافته ولی پس از آن مجدداً رو به افزایش تدریجی می گذارد. سرعت رشد ارتفاع تنها تا سن ۴ سالگی افزایش و پس از آن به طور کلی رو به کاهش می گذارد اما سرعت رشد قطر تاج افزایش قابل ملاحظه ای را به ویژه تا سن ۴ سالگی نشان می دهد ولی پس از آن طور نسبی رو به کاهش می گذارد. به طور کلی می توان گفت با افزایش سن تا حدود ۱۵ سالگی سرعت رشد این گونه نسبت به سال های اولیه رشد افزایش نشان می دهد. به طور کلی سرعت رشد ابعاد اندازه گیری شده ارتفاع تنها و قطر تاج در درخت توت زیستی با افزایش سن افزایش می یابد هر چند یک وقفه مشخص و بارز در سینه ۴-۶ سالگی در سرعت رشد ارتفاع تنها به چشم



شکل ۵. نمودار تابع رگرسیونی لگاریتمی بین قطر تاج و سن درخت در توت زیستی

جدول ۳. پیش‌بینی ارتفاع کل، ارتفاع تن و قطر تاج در سنین ۱۰، ۱۵ و ۳۰ سال در زیتون تلغ و توت زیستی
بر اساس مدل برآزش شده لگاریتمی

| گونه | ارتفاع کل (متر) | | | ارتفاع تن (متر) | | | قطر تاج (متر) | | |
|-----------|--------------------|--------|--------|--------------------|--------|--------|------------------|--------|--------|
| | ۱۰ سال | ۱۵ سال | ۳۰ سال | ۱۰ سال | ۱۵ سال | ۳۰ سال | ۱۰ سال | ۱۵ سال | ۳۰ سال |
| زیتون تلغ | ۵/۰۲ | ۶/۰۸ | ۷/۹۳ | ۱/۸۳ | ۲/۱۵ | ۲/۷۱ | ۶/۱۳ | ۷/۵۱ | ۹/۹۴ |
| توت زیستی | ۳/۷۷ | ۴/۱ | ۵/۵۰ | ۱/۱۸ | ۱/۳۰ | ۱/۵۲ | ۳/۹۰ | ۴/۶۶ | ۵/۹۲ |

جدول ۴. میانگین سرعت رشد سالانه ارتفاع کل، ارتفاع تن و قطر تاج محاسبه شده هر ۲ سال یکبار در درخت زیتون تلغ

| قطر تاج (mm) | ارتفاع تن (mm) | ارتفاع کل (mm) | سن |
|--------------|----------------|----------------|-------|
| ۴۰۰ | ۳۰۵ | ۵۴۰ | ۰-۲ |
| ۱۰۹۲ | ۷۵۰ | ۷۲۵ | ۲-۴ |
| ۱۰۰۵ | ۵۶۰ | ۶۱۵ | ۴-۶ |
| ۹۷۵ | ۵۴۰ | ۴۲۰ | ۶-۸ |
| ۹۰۵ | ۴۴۰ | ۵۵۰ | ۸-۱۰ |
| ۷۲۵ | ۳۷۵ | ۵۸۲ | ۱۰-۱۲ |
| ۸۴۱ | ۳۷۵ | ۶۷۵ | ۱۲-۱۴ |

جدول ۵. میانگین سرعت رشد سالانه ارتفاع کل، ارتفاع تنہ و قطر تاج محاسبه شده هر ۲ سال یکبار در درخت توت زیستی

| سن | ارتفاع کل (mm) | ارتفاع تنہ (mm) | قطر تاج (mm) |
|-------|----------------|-----------------|--------------|
| ۰-۲ | ۲۲۵ | ۲۰۰ | ۳۷۰ |
| ۲-۴ | ۷۲۵ | ۲۹۶ | ۵۶۵ |
| ۴-۶ | ۴۲۰ | ۱۶۰ | ۹۳۰ |
| ۶-۸ | ۱۱۷۰ | ۵۲۵ | ۱۳۵۰ |
| ۸-۱۰ | ۵۷۵ | ۵۸۰ | ۱۶۵۵ |
| ۱۰-۱۲ | ۱۷۶۵ | ۵۹۵ | ۱۹۲۵ |
| ۱۲-۱۴ | ۸۰۰ | ۴۹۰ | ۱۹۸۰ |

و تصویری نیز شبیه‌سازی می‌شود (۱۶). داشتن اطلاعات کافی در ارتباط با ابعاد درخت (ارتفاع کل، ارتفاع تنہ و قطر تاج) می‌تواند برای مدل کردن جذب آنودگی هوا، بهبود میکروکلیما، محاسبه جذب کربن و... در محیط‌های شهری به کار گرفته شود (۱۲). از طرفی با داشتن اطلاعات مربوط به ابعاد درختان امکان محاسبه دقیق‌تر هزینه‌ها، آنالیز برنامه‌های مدیریتی مطلوب در سال‌های آینده با هدف ایجاد فضاهای سبز پایدار شهری فراهم می‌شود. با کمک این مدل‌ها و توابع چنان‌چه سرعت رشد درختی زیاد باشد امکان استفاده و کشت آن در مکان‌هایی با فضای باز و یا موقعیت‌هایی که نیاز پوشش سبز سریع و فوری‌تر احساس می‌شود قابل توصیه است. همچنین در مورد درختان کم رشد توصیه به کاشت در مکان‌هایی با فضاهای محدود مثل بولوارها و پیاده‌روهای خیابان‌های تجاری و شلوغ قابل توجیه خواهد بود.

آنچه از نتایج و جداول مشخص است این است که در هر دو گونه زیتون تلخ و توت زیستی سرعت رشد نسبتاً بالایی به ویژه از نظر گسترش و توسعه تاج حداقل تا سالین ۱۴-۱۵ سالگی دارند که ظهر و بروز آن در فصول رشد سبز یعنی بهار و تابستان مشخص‌تر است و به طور کلی جزو درختان نسبتاً پر رشد در فضای سبز به حساب می‌آیند. استفاده از مدل‌ها و توابع ریاضی و به بیانی دیگر کمی کردن الگوی رشد در درختان زیستی به طراحان و مدیران فضای سبز این امکان را می‌دهد که سرعت رشد ابعاد مختلف درخت را در سالین مختلف پیش‌بینی کنند و تصویر صحیح‌تر و واقعی‌تری از فضای سبز طراحی شده در آینده داشته باشند. این مدل‌ها و توابع قابلیت استفاده در نرم افزارهای فضای سبز مثل CAD (Computer Aided Design software) را دارند و به این ترتیب تغییر رشد درخت در سالین مختلف به صورت دیجیتالی

منابع مورد استفاده

1. Brewer, J. A., P. Y. Burns and Q. V. Cao. 1985. Short term Projection accuracy of five asymptotic height–age curves For Loblolly pine. *Forest Science* 31: 414–418.
2. Du Toit, S. H. C. 1979. Analysis of growth curves. Ph.D. Thesis, University of South Africa, Pretoria, South Africa.
3. Fox, J., H. Bi and P. Ades. 2007. Spatial dependence and individual-tree growth models II. Modeling spatial dependence, *Forest Ecology and Management* 245: 20–30.
4. Gerhold, H. D., N. L. Lacasse and W. W. Andel. 1993. Street tree fact sheets. University Park, The Pennsylvania State University. AGRS-056.
5. Harrison N. A., E. Boa and M. L. Carpio. 2003. Characterization of phytoplasmas detected in Chinaberry trees with symptoms of leaf yellowing and decline in Bolivia. *Plant Pathology* 52: 147-157.
6. Hickey M. and C. J. King. 1981. Moraceae, 100 families of flowering plants. Cambridge University Press, London.

7. <http://www.learner.org/jnorth/tm/leaf/HowOld.html>
8. Ishii, H., J. P. Clement and D. C. Shawc. 2000. Branch growth and crown form in old coastal Douglas-fir, *Forest Ecology and Management* 131: 81-91.
9. Jalota, R. K., and K. K. Sangha. 2000. Comparative ecological-economic analysis of growth performance of exotic *Eucalyptus tereticornis* and indigenous *Dalbergia sissoo* in mono-culture plantations. *Ecological Economics* 33: 487-495.
10. Joffe, P. 1993. The gardener's guide to South African plants. Tafelberg-Uitgewers Beperk, CapeTown.
11. Kirsten, K. E. and L. Meyer. 1992. Keith Kirsten's complete garden manual for South Africa. Human and Rousseau, Cape Town.
12. Larsen, F. K. and P. Kristoffersen. 2002. *Tilia*'s physical dimensions over time. *Journal of Arboriculture* 25: 209–213.
13. Peper, P. J., E. G. Mc Pherson and S. M. Mori. 2001a. Predictive equations for dimensions and leaf area of coastal southern California street trees. *Journal of Arboriculture* 27: 169–181
14. Peper, P. J., E. G. Mc Pherson and S. M. Mori. 2001b. Equations for predicting diameter, height, crown width and leaf area Of San Joaquin Valley street trees. *Journal of Arboriculture* 27: 306–317.
15. Pukkala, T., T. Kolstrom and J. Miina. 1994. A method for predicting tree dimensions in Scots pine and Norway spruce stands. *Forest Ecology and Management* 65: 123-134.
16. Simard, S. W., and B. J. Zimonick. 2005. Neighborhood size effects on mortality, growth and Crown morphology of paper birch. *Forest Ecology and Management* 214: 251–265.
17. Stoffberg, G.H., M. W. van Rooyen, M. J. van der Linde and H. T. Groeneveld. 2008. Predicting the growth in tree height and crown size of three street tree species in the city of Tshwane. *South Africa Urban Forestry and Urban Greening* 7: 259–264.
18. Teimoori, R., S. Roostaee, A. Akbarizamaneh and M. Ahadinejad. 2010. The evaluation of spatio-temporal suitability of urban parks using GIS (a case study of area no. 2 neighborhood parks of Tabriz municipality). *Iranian Jornal of Geographic Space* 10: 137-168. (In Farsi).
19. Wyckoff, P. H., and J. S. Clark. 2005. Tree growth prediction using size and exposed crown area. *Canadian Journal of Forest Research* 35: 13-20.
20. Zhang, L., H. Bi, P. F. Chenga and C. J. Davis. 2004. Modeling spatial variation in tree diameter-height relationships. *Forest Ecology and Management* 189: 317–329.